

تعیین محدوده مناسب عملکردی از کتورهای مورد استفاده در محفظه احتراق گردا بهای موتور سوخت مایع به روش تجربی

اسماعیل ولیزاده^۱، سید مجتبی موسوی نائینیان^۲

۱ دانشجوی دکتری، دانشکده هوا فضا، دانشگاه خواجه نصیرالدین طوسی، تهران، e-valizadeh@mail.kntu.ac.ir

۲ دانشیار، دانشکده هوا فضا، دانشگاه خواجه نصیرالدین طوسی، تهران

تاریخ دریافت: ۱۳۹۵/۰۳/۲۸

تاریخ پذیرش: ۱۳۹۵/۱۱/۱۹

چکیده

محفظه احتراق گردا بهای نسل جدید محفظه موتورهای سوخت مایع است که در آن با چیدمان متفاوت از کتورها، یک جریان گردا بهای درون محفظه احتراق ایجاد می کنند. این گردا به کمک زیادی به خنک کاری و افزایش میزان اختلاط مولفه های پیشرانه در محفظه احتراق می کند و می توان در یک محفظه با حجم کوچک، احتراقی کامل ایجاد نمود. در این نوع محفظه ها چند نوع از کتور در نقاط مختلف مورد استفاده قرار می گیرد که شامل از کتورهای گریز از مرکز، جریانی و گردا بهای (مماسی) می باشند. در پژوهش حاضر، طراحی و آزمون تجربی این از کتورها جهت بررسی تأثیر پارامترهای هندسی آنها بر مشخصه های هیدرودینامیکی با استفاده از سیال عامل آب انجام شده است. نحوه تشکیل اسپری، اندازه گیری دبی، افت فشار و زاویه پاشش از کتور از جمله مشخصه های هیدرودینامیکی است که بررسی شده اند. نتایج حاکی از تطابق قابل قبول پیش بینی های طراحی و عملکرد از کتورهای است. بر این اساس، ضمن انتخاب از کتورهای گریز از مرکز و جریانی پاشنده سوخت و اکسید کننده به محفوظه، نشان داده شده است که افزایش تعداد از کتورهای مماسی گردا بهای تا شش عدد، یکنواختی بیشتری در جریان بالارونده از محفظه گردا بهای ایجاد می کند، اما زاویه ورودی آنها تا ۵ درجه تأثیر چندانی بر بالاروندگی ندارد.

واژگان کلیدی

محفظه احتراق موتور سوخت مایع، محفوظه احتراق گردا بهای، از کتور گریز از مرکز، محدوده عملکرد، روش تجربی

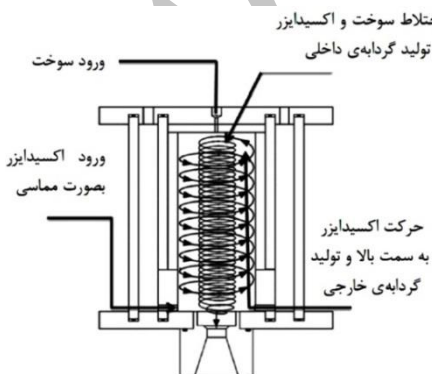
۱. مقدمه

بر این، نوع از کتورها و توزیع آن در صفحه باید به گونه ای باشد که بهترین توزیع شدت دبی و نسبت اکسید کننده به سوخت را در

مأموریت از کتورها در موتورهای سوخت مایع تبدیل پیشرانه به قطراتی با قطر مناسب و آماده کردن آن برای احتراق است. علاوه

مقایسه کردند. مدل آنها در مقایسه با نتایج تجربی مناسب بود [۴]. ریتز و برaco مکانیزم اتمیزاسیون را بهمراه رابطه‌ای برای محاسبه زاویه اسپری بیان کردند [۶]. مکارتی و ملوی تحقیقاتی درباره پایداری جت سیال و تأثیر آن در نازل انژکتور انجام دادند [۷]. تیت [۸] در انژکتورهای دوپایه گریز از مرکز گاز-مایع تحقیقات ارزنده‌ای را پیرامون نحوه نفوذ انجام داد. زaho و همکاران [۱] نحوه توزیع پاشش و اندازه قطرات در انژکتور گریز از مرکز و واصلیف و کودریاتسف [۹] نحوه توزیع پاشش انژکتورها را در صفحه انژکتور بررسی کردند.

در داخل کشور نیز تحقیقات گسترده‌ای درباره انژکتورها انجام شده است. امی، بورکالسوف و سوخوف پاشش صفحه انژکتور مربوط به یک میکروموتور موشک سوخت مایع را مورد مطالعه قرار دادند [۱۰]. در سامانه‌های پیشرانش شیمیایی متداول، معمولاً انژکتورها سوخت و اکسیدکننده را از صفحه بالای محفظه احتراق (صفحه انژکتور) به درون محفظه تزریق می‌کنند و پس از فروپاشی جریان، اختلاط فاز مایع، تبخیر، اختلاط فاز گاز و احتراق؛ گاز داغ تولید می‌شود که با حرکت در طول نازل، انرژی گرمایی آن به انرژی جنبشی تبدیل می‌شود و تکانه جت خروجی، سامانه را به پیش می‌راند [۱۱]. در فناوری جدید به کار رفته در محفظه احتراق سیستم‌های پیشرانش شیمیایی، با چیدمان متفاوت انژکتورها، یک جریان گردابه‌ای درون محفظه احتراق ایجاد می‌کنند که این گردابه به خنک‌کاری و افزایش میزان اختلاط مؤلفه‌های پیشرانش در محفظه احتراق کمک زیادی می‌کند و می‌توان در یک محفظه با حجم کوچک یک احتراق کامل ایجاد نمود (شکل ۱) [۱۲].



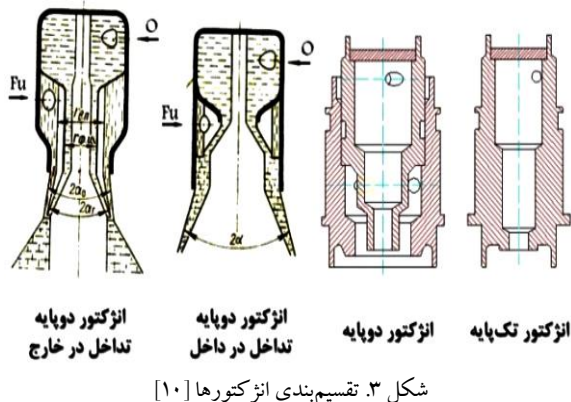
شکل ۱. نمایی شماتیک از محفظه احتراق گردابه‌ای [۱۲]

ایده اصلی میدان جریان گردابه‌ای، که در موتور گردابه‌ای مورد استفاده قرار گرفته است، ناشی از ایده بیل نات، سرمهندس شرکت اوربیتک^۱ و همکاران وی بوده است. آنان چندین کار

صفحه انژکتور تأمین کند تا فرایند احتراق با بازده بیشینه صورت پذیرد [۱]. از سوی دیگر، زاویه اسپری در سیستم‌های احتراقی تأثیر زیادی بر بازده احتراق، محدوده خاموشی شعله و انتشار آن دارد [۲]. آگاهی داشتن از زاویه چتر پاشش نیز - با توجه به اثری که در اختلاط سوخت و اکسیدکننده و اختلاط چتر پاشش انژکتورهای مجاور در صفحه انژکتور دارد - حائز اهمیت است. هر اندازه بتوان این فرایندها را در حجم کمتر محفظه احتراق مدیریت نمود، وزن محفظه کمتر خواهد بود که در دیدگاه هواپایی مسئله مهمی است.

فرایند پاشش و تشکیل قطره در محفظه احتراق موتورهای نحوه تبدیل مایع خروجی از نازل انژکتور به قطرات و همچنین زاویه پاشش در فشارهای پشت متفاوت همیشه مورد علاقه و مطالعه پژوهشگران بوده است. در پژوهش سیواکومار و راقاندانان (۱۹۹۸)، در یک انژکتور پیچشی مایع - مایع از نوع هممحور، اثر اندرکنش اسپری‌ها بر زاویه اسپری و طول شکست، با پردازش تصاویر پاشش بررسی شده است [۳]. داده‌های تجربی حاصل برای اسپری درونی و بیرونی به صورت مجزا، با داده‌های به دست آمده از اسپری ترکیبی آنها متفاوت است؛ که نشان دهنده تأثیر تداخل اسپری، بر خصوصیات هر یک از اسپری‌های است. آنها همچنین نقش پارامترهای هندسی بر اندازه قطرات یک انژکتور هممحور پیچشی مایع - مایع را مطالعه و گزارش کرده‌اند که در محدوده شرایط آزمایش، تداخل اسپری‌ها سبب افزایش ۴۰ تا ۵۰ درصدی اندازه متوسط قطرات نسبت به حالت مجزای اسپری‌ها شده است. در پژوهش دیگر، زاویه اسپری، یکنواختی پاشش و توزیع قطر قطرات یک انژکتور هممحور پیچشی سه سیاله توسط رامامورتی و مدهاوان مورد بررسی قرار گرفته است. آزمایش‌ها با تست سرد در محدوده ۲ تا ۸ پار انجام شده است. نتایج نشان می‌دهد که یکنواختی پاشش گذرگاه درونی با افزایش فشار کاهش می‌یابد [۴].

مطالعه تجربی دیگری با روش PDA روی مشخصات پاشش آب بعد از شکسته شدن آن به قطرات ریز توسط شن انجام شده که در آن قطر و سرعت قطرات آب اندازه‌گیری شده و تقارن پاشش مورد مطالعه قرار گرفته است [۵]. اسچیمت و همکاران در مطالعه‌ای فرایند پاشش و تشکیل قطره را در ناحیه شکست مایع پیوسته به مایع گستاخه بعد از خروج آن از انژکتور پیچشی مورد بررسی قرار دادند [۴]. آنها همچنین نتایج تجربی را با کار عددی



۳. پدیده فروپاشی و تشکیل زاویه پاشش سیال
با افزایش فشار، فروپاشی و تشکیل زاویه پاشش در اندکتورها می‌تواند به ترتیب زیر رخ دهد [۱۶]:

- سیال به صورت یک جت یکپارچه و پیوسته از اندکتور خارج می‌شود و در فاصله نسبتاً زیادی از آن، به قطرات درست فروپاشیده می‌شود. زاویه پاشش در این حالت کم است (شکل ۴-۱).

- با کمی افزایش فشار، سیال به صورت یک جاب گلابی‌شکل بزرگ و شفاف - که دارای یک گره است - از اندکتور خارج و از همین گره، فروپاشی جت آغاز می‌گردد. گاهی جت جريان، شکل دو زنگوله متواالی پیدا می‌کند (شکل ۴-۲).

- در مرحله افزایش فشار، سیال به صورت یک چتر لاله‌ای‌شکل شفاف و یک بخش استوانه‌ای - که کمی تیره‌تر است - ظاهر می‌گردد. دقیقاً از لبه همین استوانه، جريان از چتر اصلی جدا و به قطرات نسبتاً درشت تبدیل می‌گردد (شکل ۴-۳).

- در ادامه اگر فشار باز افزایش یابد، سیال به صورت یک مخروط لاله‌ای‌شکل شفاف از اندکتور خارج می‌گردد. از روی لبه‌های نوسانی و موجدار همین مخروط، جريان به صورت قطراتی با ابعاد مختلف جدا می‌گردد (شکل ۴-۴).

- با افزایش دوباره فشار، کیفیت پاشش مانند حالت قبل است؛ اما دیگر از آن لایه شفاف، یکپارچه و نازک خبری نیست (شکل ۴-۵).

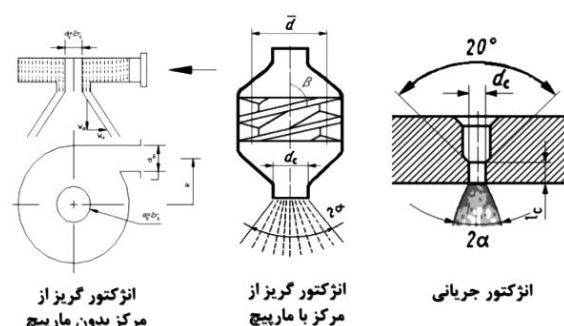
- با رسیدن فشار به مقدار طراحی، کیفیت پاشش به صورت محسوسی بهبد و تعداد قطرات کوچک افزایش می‌یابد. ویژگی متمایز‌کننده این مرحله آن است که مسیر حرکت هر یک از قطرات به صورت واضح قابل تشخیص است و زاویه پاشش به مقدار طراحی می‌رسد (شکل ۴-۶).

موفق روی موتورهای سوخت گازی پیگیری کردند تا در نهایت موتوری با پیشرانش ۴۴۴۸ نیوتن را آزمایش کردند و موتور گردابهای را، به عنوان نامزد نسل دوم وسائل پرتاب‌شونده‌ای که قابل استفاده مجدد هستند، پیشنهاد نمودند [۷].

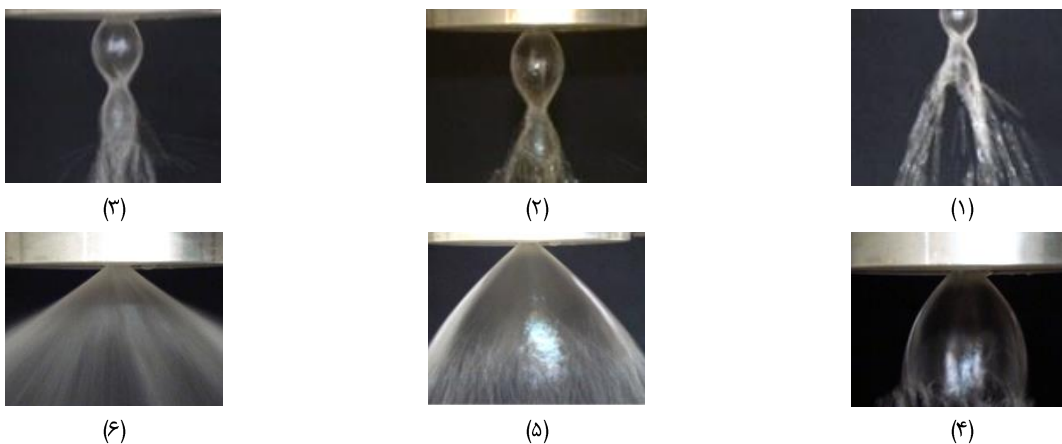
در مقالاتی که تاکنون ارائه شده است [۱۵-۱۶]، بیشتر مؤلفه‌های پیشرانه به صورت گازی در نظر گرفته شده‌اند و اشاره‌ای به مؤلفه‌های مایع نشده است. با توجه به نو بودن این نوع محفظه‌ها، روابط طراحی مشخصی برای آنها وجود ندارد و تأثیر پارامترهای مختلف بر عملکرد محفظه نامشخص است. لذا با طراحی و ساخت تسترهای، فرایندهای درونی در این محفظه‌ها، شناسایی و تجزیه و تحلیل گردیدند. در پژوهش حاضر، اندکتورهای سامانه پاشش یک موتور آزمایشگاهی گردابهای مورد بررسی قرار گرفته‌اند. در این ساختار از دو نوع اندکتور جریانی، گریز از مرکز و مماسی استفاده شده است و آثار پارامترهای هندسی آنها بر مشخصه‌های هیدرودینامیکی (نحوه پاشش، دبی، افت فشار و زاویه پاشش) مورد بررسی قرار گرفته‌اند.

۲. انواع اندکتور در موتورهای سوخت مایع

به طور کلی اندکتورهای مورد استفاده در موتورهای سوخت مایع به دو دسته اندکتورهای گریز از مرکز و جریانی تقسیم می‌شوند. اندکتورهای گریز از مرکز نیز خود به دو دسته اندکتور مارپیچ دار و سوراخ مماسی تقسیم می‌شوند [۱۰] (شکل ۲).



در یک دسته‌بندی تکمیلی، اندکتورها می‌توانند به اندکتورهای تکپایه و دوپایه تقسیم شوند؛ اندکتورهای دوپایه نیز خود به اندکتورهای اختلاط داخلی و خارجی دسته‌بندی می‌شوند. نوع اختلاط داخلی برای پیشرانه‌های غیرخودمشتعل و نوع اختلاط خارجی برای پیشرانه‌های خودمشتعل به کار می‌روند [۱۰] (شکل ۳).



شکل ۴. پدیده فروپاشی و تشکیل زاویه پاشش در فشارهای مختلف [۱۶]

۲. دادن ایمپالس بیشینه
۳. دادن توزیع مناسب نسبت مؤلفه‌ها در مقطع عرضی محفظه، این معیار از لحاظ پایدارتر بودن محفظه و احتراق مناسب سوخت و اکسیدکننده دارای اهمیت است
۴. دادن شدت نسبی مناسب

۱-۵. طراحی انژکتور سوخت

بهدلیل پایین بودن دبی سوخت و لزوم به تعداد زیاد انژکتور، از انژکتورهای جریانی که بهصورت زاویه‌دار در صفحه انژکتور قرار می‌گیرند استفاده شده است. قرارگیری زاویه‌دار انژکتور به این دلیل است که برخورده مناسب بین مؤلفه سوخت و اکسیدکننده بخوبی انجام و پاشش سوخت به هسته محفظه هدایت گردد. برای طراحی انژکتورها با توجه به شکل ۶ از رابطه ۱ استفاده می‌شود [۱۰].

$$F_C = \frac{\dot{m}}{\mu_{inj} \sqrt{2\Delta P \rho}} \Rightarrow d_C = \sqrt{4.F_C / \pi}$$

$$90^\circ \leq 2\varphi \leq 120^\circ \quad (1)$$

$$\Delta P = 0.3 \text{ MPa}$$

بهطوری که در این رابطه μ_{inj} ضریب عبوردهی انژکتور است که با توجه به شکل ۶ و تست‌های تجربی به دست می‌آید، ΔP افت فشار انژکتور، ρ جرم حجمی سیال، F_C سطح مقطع خروجی انژکتور، m دبی عبوری از هر انژکتور که برابر دبی کل سوخت و یا اکسیدکننده تقسیم بر تعداد انژکتور، φ زاویه پخش ورودی که بهدلیل کاهش افت و یکنواختی ورودی سیال استفاده می‌شود می‌باشد. افت فشار زیاد در انژکتورهای جریانی از یک

۴. مدل محفظه احتراق گردا بهای مورد استفاده

در کار تحقیقاتی حاضر که برای نخستین بار در کشور انجام شده است، یک محفظه با تراست ۱۰۰۰ نیوتن با زوج سوخت و اکسیدکننده کروسین و اکسیژن مایع و فشار محفظه یک مگاپاسکال طراحی شده است (جدول ۱). این زوج خودمشتعل نیستند، بنابراین برای احتراق نیاز به یک سیستم راهانداز دارند. برای راهاندازی اولیه این پیشرانه از سوخت تری‌اتیل آلومینیوم استفاده شده است. در این محفظه، ابتدا بخشی از اکسیژن مایع با تری‌اتیل آلومینیوم را یک انژکتور دوپایه گریز از مرکز وارد محفظه می‌کند و پس از این که اشتعال اولیه صورت گرفت، سوخت کروسین از ۸ انژکتور جریانی با زاویه ۱۵ درجه که دورتا دور صفحه‌انژکتور چیده شده‌اند، وارد محفظه می‌شود و در این حالت سوخت تری‌اتیل آلومینیوم قطع و بخش دیگر اکسیژن مایع از ۶ انژکتور جریانی که بهصورت مماسی در انتهای قسمت سیلندری محفظه چیده شده‌اند، بهصورت گردا بهای وارد محفظه می‌شود (شکل ۵). بنابراین در محفظه احتراق گردا بهای از دو نوع انژکتور جریانی و گریز از مرکز مماسی استفاده شده که در مراحل بعد آزمون‌های تجربی جهت انتخاب نهایی آنها انجام شده است.

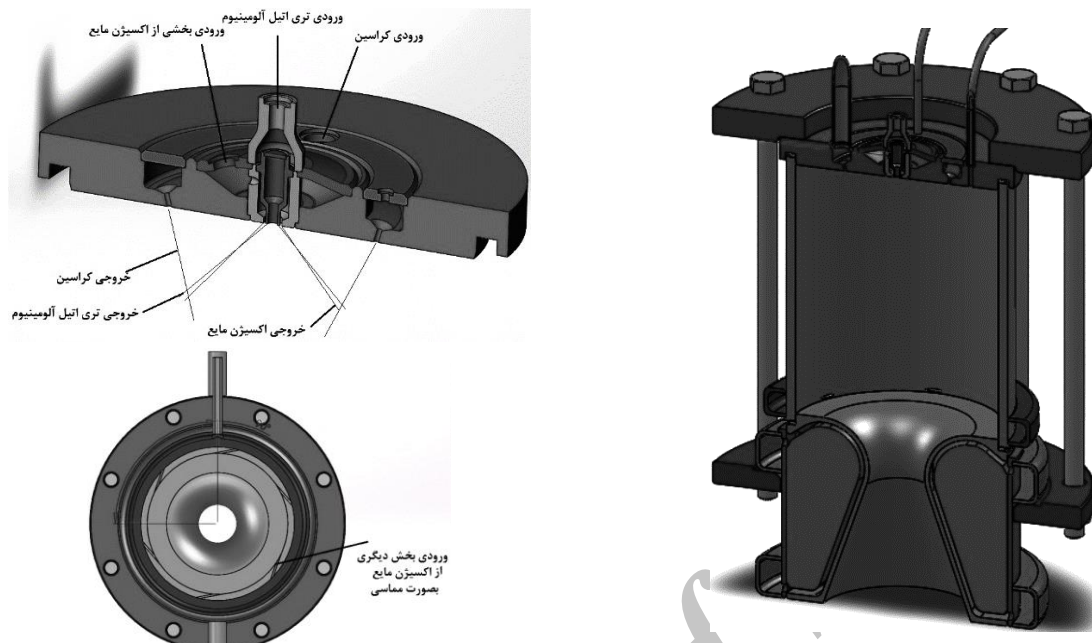
۵. محاسبات و طراحی انژکتور

مهمازترین مسئله در طراحی انژکتورها موضوع اتمیزه کردن و پاشش یکنواخت و مناسب آنهاست. بهعبارتی باید به مواردی چون برد پاشش، همگونی پاشش، نازکی (قطر قطره) پاشش و زاویه پاشش دقت کرد. طراحی انژکتور به چند معیار اساسی وابسته است [۱۷]:

۱. تولیدی بودن طرح

مگاپاسکال در نظر گرفته می‌شود [۱۰].

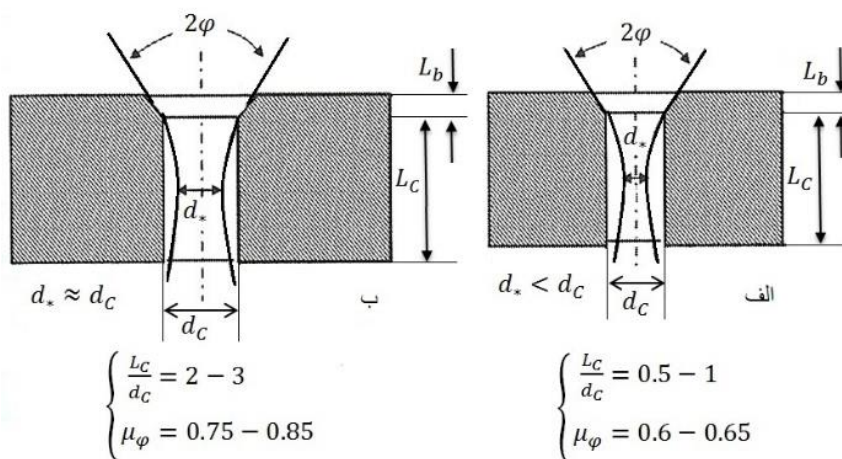
طرف سبب نازکی و از طرفی باعث افزایش برد پاشش می‌شود.
معمولاً در موتورهای کمپیشران مقدار این افت بین $0/5$ تا $0/3$ می‌باشد.



شکل ۵. نمایی از محفظه احتراق گرداهای به همراه سامانه پاشش

جدول ۱. مشخصات محفظه احتراق گرداهای

| مقدار | واحد | مشخصه |
|-------------|--------------|-----------------------------|
| کروسین | - | سوخت |
| اکسیژن مایع | - | اکسیدکننده |
| ۱۰۰ | نیوتون | نیروی پیشران |
| ۱ | مگاپاسکال | فشار محفظه احتراق |
| $1/3$ | - | نسبت دبی اکسیدکننده به سوخت |
| $217/5$ | گرم بر ثانیه | دبی سوخت |
| 113 | گرم بر ثانیه | دبی اکسید محوری |
| 169 | گرم بر ثانیه | دبی اکسید گرداهای |



شکل ۶. نمایی از انزکتورهای جریانی [۱۰]

ورودی و خروجی‌های مسئله برای طراحی انزکتور در جدول ۲ و نقشه مونتاژی در شکل ۷ نمایش داده شده است.

۴. محاسبه مقدار طول ورودی:

$$\frac{l_{in}}{r_{in}} = 1.5 - 2.3 \quad (7)$$

۵. محاسبه قطر محفظه انزکتور:

$$R_k \approx R_z + r_{in} \quad (8)$$

۶. محاسبه ارتفاع نازل:

$$\frac{l_c}{d_c} = 0.25 - 1.0 \quad (9)$$

۷. تعیین مقدار زاویه شبیب دهانه ورودی نازل:

$$2\psi = 60^0 - 120^0 \quad (10)$$

۸. محاسبه ارتفاع نازل:

$$h \approx D_k = 2R_k \quad (11)$$

برای انزکتور داخلی و خارجی با توجه به روابط، محاسبات انجام و نقشه مونتاژی در شکل ۱۰ نشان داده شده است.

۳-۵. طراحی انزکتور مماسی جریان گردابهای

برای بررسی جریان گردابهای و تأثیر پارامترهای مختلف بر عملکرد محفظه، ابتدا یک محفظه از جنس پلکسی‌گلس - برای رؤیت جریان - که قابلیتهایی چون؛ سهولت تعویض، تغییر افت فشار و تغییر زاویه ورودی انزکتورها را داشته باشد، طراحی و ساخته شد. طراحی به‌گونه‌ای صورت گرفت که انزکتورها بمراحتی قابل تعویض باشند و طول محفظه پلکسی‌گلس نیز بلند انتخاب شد تا امکان انجام آزمون در فشار و دبی‌های مختلف وجود داشته باشد. در آزمون‌ها از انزکتورهای مختلف با افت و زوایای متفاوت استفاده گردید. جهت ایجاد جریان گردابهای لازم است که یک تکیه‌گاه زیر ورودی‌های سیال مماسی قرار گیرد (شکل ۱۱)؛ تا جریان به‌سمت بالا هدایت گردد. اگر این تکیه‌گاه وجود نداشته باشد، جریان به‌سمت بالا حرکت نخواهد کرد. مقدار ضخامت این تکیه‌گاه بر عملکرد جریان در محفظه احتراق تأثیر دارد [۱۸]. انزکتور مورد استفاده برای جریان گردابهای، از نوع جریانی و مماس بر بدنه ایجاد می‌شود. تعداد و ضریب دبی این انزکتورها از تست‌های سرد انجام گرفته به‌دست آمد. نتایج تست‌ها نشان داد که هرچه تعداد انزکتورها بیشتر باشد، یکنواختی جریان بیشتر می‌شود و زاویه‌دار کردن سوراخ‌ها تا ۵ درجه روی بالارفتن جریان اثر چندانی ندارد. به‌همین دلیل از ۶ انزکتور به‌صورت مماس بر بدنه استفاده شد. در جدول ۴ اطلاعات مربوط به این انزکتور و در شکل ۱۲ نمایی از طرح نمایش داده شده است.

۵-۲. طراحی انزکتور گریز از مرکز جریان محوری

انزکتور انتخاب شده برای طراحی در این پروژه، انزکتور گریز از مرکز دوپایه مماسی با اختلاط خارجی است. انزکتور میانی برای تزریق تری اتیل آلومینیوم و انزکتور پیرامونی جهت اکسیژن مایع استفاده می‌شود. انزکتور سوت خارجی دارای ۲ گذرگاه ورودی و انزکتور اکسنده دارای ۳ گذرگاه برای واردشدن سوت خارجی و اکسنده به درون انزکتورها هستند. در طراحی انزکتور پیچشی پارامترهای متعددی دخیل است. این پارامترها شامل پارامترهای ورودی مسئله، انتخابی و خروجی می‌باشند. پارامترهای انتخابی توسط طراح اغلب براساس تجربه و توصیه‌های طراحی انتخاب می‌شود و پارامترهای خروجی براساس روابط تئوری، تجربی، نمودارها و پارامترهای انتخابی به‌دست می‌آیند. برای طراحی انزکتور با توجه به ورودی‌های مسئله (جدول ۳ و شکل ۸ مراحل زیر برای به‌دست آوردن دیگر پارامترهای هندسی انزکتور انجام می‌گیرد [۹]:

۱. با استفاده از گراف شکل ۹ با توجه به ورودی زاویه پاشش، مشخصه هندسی، ضریب دبی و ضریب سطح انزکتور به‌دست می‌آید.

مشخصه هندسی انزکتور:

$$A = \frac{R_z r_c}{n.r_{in}^2} \quad (2)$$

ضریب دبی انزکتور:

$$\mu_{inj} = \frac{\dot{m}_{inj}}{\dot{m}_{injT}} < 1 \quad (3)$$

ضریب سطح انزکتور:

$$\varphi = \frac{F^*}{F_c} = \frac{\pi(r_c^2 - r_m^2)}{\pi r_c^2} = 1 - \frac{r_m^2}{r_c^2} < 1 \quad (4)$$

۲. با استفاده از رابطه زیر سطح دهانه خروجی و سپس شاعع نازل به‌دست می‌آید:

$$F_c = \frac{\dot{m}}{\mu_\phi \sqrt{2\Delta p \cdot \rho}} \Rightarrow r_c = \sqrt{\frac{F_c}{\pi}} \quad (5)$$

۳. با داشتن مشخصه هندسی، شاعع نازل خروجی و تعداد ورودی‌ها، مقدار شاعع ورودی‌ها محاسبه می‌شود.

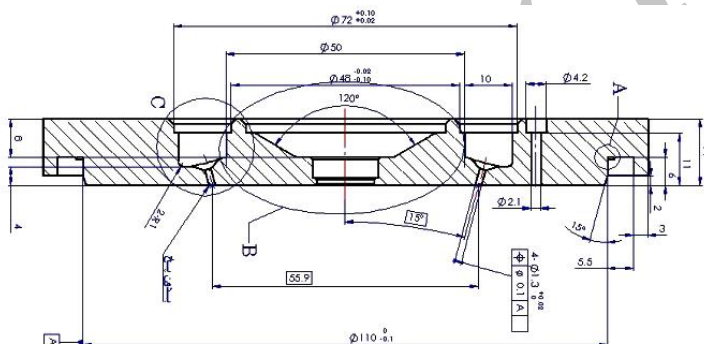
$$A = \frac{R_z r_c}{n.r_{in}^2} \Rightarrow r_{in} = \sqrt{\frac{r_c R_z}{n.A}} \quad (6)$$

جدول ۲. پارامترهای اثرکتور سوت

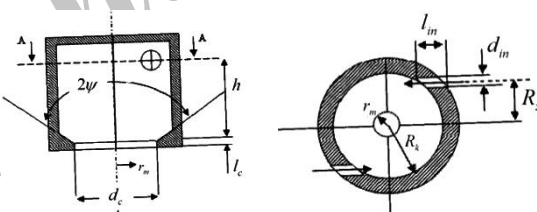
| پارامتر | واحد | مقدار |
|---------------------|---------------------|-------|
| تعداد اثرکتور | - | ۸ |
| افت فشار | مگاپاسکال | ۰/۳ |
| چگالی سوت | کیلوگرم بر متر مکعب | ۸۱۰ |
| ضریب دبی | - | ۰/۸ |
| زاویه خروجی اثرکتور | درجه | ۱۵ |
| طول اثرکتور | میلی‌متر | ۴ |
| قطر سوراخ اثرکتور | میلی‌متر | ۱/۳ |

جدول ۳. پارامترهای ورودی اثرکتور گریز از مرکز

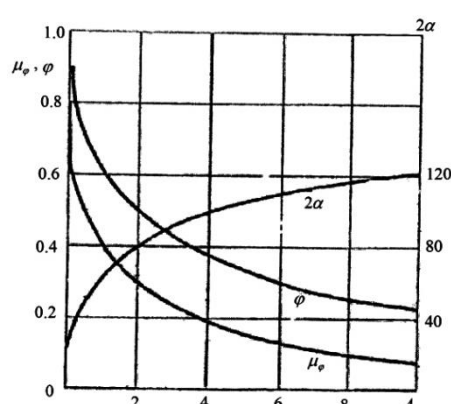
| افت فشار (مگاپاسکال) | ویسکوزیته (پاسکال ثانیه) | چگالی (کیلوگرم بر متر مکعب) | دبی (کیلوگرم بر ثانیه) | زاویه پاشش (درجه) | تعداد سورخهای ورودی |
|-------------------------|-----------------------------|--------------------------------|---------------------------|----------------------|------------------------|
| ۱/۲ | ۰/۰۳۲۴ | ۸۳۵ | ۰/۰۲ | ۱۰۰ | ۲ |
| ۰/۳ | ۰/۰۰۱۹ | ۱۱۴۰ | ۱۱۰/۳ | ۹۰ | ۳ |



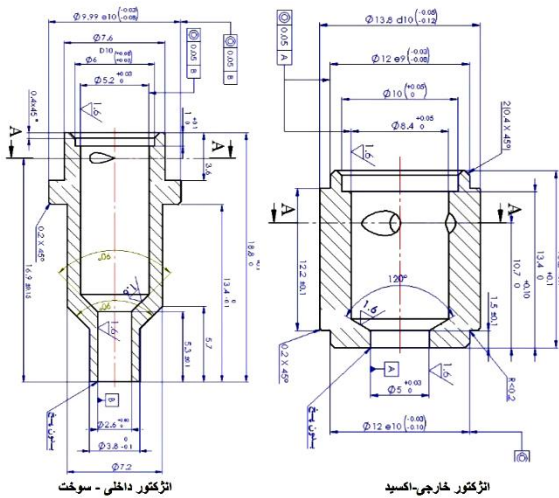
شکل ۷. نمایی از صفحه اثرکتور با اثرکتورهای جریانی سوت



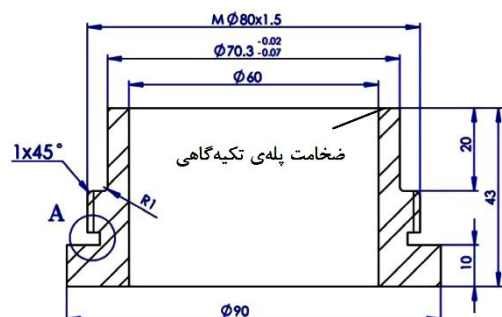
شکل ۸. پارامترهای هندسی اثرکتور گریز از مرکز محاسی [۹]



شکل ۹. مشخصه هندسی اثرکتور، ضریب دبی، ضریب سطح و زاویه متوسط چتر پاشش در اثرکتور [۹]



شکل ۱۰. نمایی از انژکتور سوخت و اکسید محوری



شکل ۱۱. نمایی از پله تکیه گاهی [۱۸]

جدول ۴. پارامترهای انژکتور گردابهای اکسید

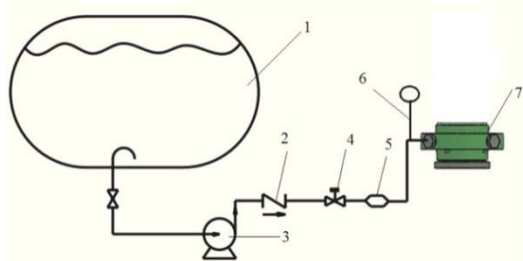
| مقدار | واحد | پارامتر |
|-------|---------------------|---------------------|
| ۶ | - | تعداد انژکتور |
| ۰/۳ | مگاپاسکال | افت فشار |
| ۱۱۴۰ | کیلوگرم بر متر مکعب | چگالی اکسید |
| ۰/۵۷ | - | ضریب دی |
| صفر | درجه | زاویه خروجی انژکتور |
| ۵ | میلی متر | طول انژکتور |
| ۱/۵ | میلی متر | قطر سوراخ انژکتور |

محفظه ایجاد شدند. در شکل ۱۳ نمونه ساختی انژکتور و صفحه انژکتور نمایش داده شده است.

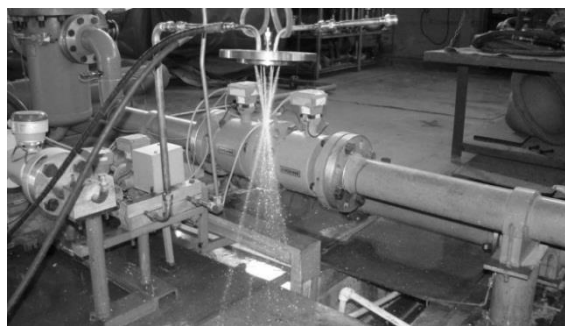
۷. آزمون انژکتورها با سیال عامل آب
برای آزمودن انژکتورها از سیال عامل آب استفاده می‌شود. جهت انجام این تست‌ها باید دبی آب معادل مؤلفه‌های سوخت و اکسیدکننده معلوم باشد. با استفاده از رابطه ۱۲ در فشار کاری

۶. ساخت انژکتور و صفحه انژکتور

پس از به دست آوردن مقادیر لازم جهت ساخت انژکتور و تهیه نقشه ساختی، نسبت به ساخت سامانه اقدام شد. در مورد انژکتورهای گریز از مرکز، ابتدا توسط دستگاه تراش ابعاد هندسی انژکتور تولید و سپس سوراخهای مماسی آن ایجاد شد. انژکتورهای جریانی مربوط به سوخت روی صفحه انژکتور و انژکتور جریانی گردابهای به صورت مماسی روی بدنه استوانه‌ای



شکل ۱۴. نمایی از مدار تست؛ ۱) مخزن آب، ۲) شیر یکطرفه، ۳) پمپ، ۴) شیر قطع و وصل جریان، ۵) دبی سنج، ۶) فشارسنج، ۷) صفحه انژکتور



شکل ۱۵. تصویری از استند تست

۲-۷. تست‌های انژکتور گریز از مرکز مماسی

۱-۲-۷. تست پاشش و اندازه‌گیری زاویه پاشش

در انجام فرایند تست سرد انژکتور برای هر کدام از انژکتورها، فشار از ۱ بار به تدریج تا فشار محاسباتی افزایش پیدا کرد. در روند این افزایش فشار، رژیم‌های متوالی فروپاشی جریان ایجاد گردید و شکل جریان خروجی از انژکتور - به ترتیب مطابق شکل ۱۶ - از زاویه پاشش کم تا زاویه پاشش محاسباتی تغییر نمود. تغییر رفتار فروپاشی جریان همان‌گونه است که پیش از این در بخش ۳ اشاره شد. در شکل ۱۷، روش اندازه‌گیری تصویری زاویه پاشش هر انژکتور از آزمون‌ها ارائه شده است. در فرایند انجام تست‌ها، مقدار دبی و فشار عبوری از هر انژکتور ثبت گردید (جدول ۷).

۲-۲-۷. تست توزیع قطر قطرات

برای به دست آوردن توزیع قطر قطرات از دستگاه لیزری PDA استفاده شده است. در این تست، نقاط اندازه‌گیری روی یک صفحه عمود بر محور انژکتور در فاصله 30 میلیمتری از اریفیس خروجی آن قرار گرفته‌اند. شبکه مورد نظر برای اندازه‌گیری، یک شبکه دایروی است که در حدود 100 نقطه اندازه‌گیری روی آن واقع شده است. نمونه این شبکه در شکل ۱۸ نمایش داده شده است. پارامترهای فیزیکی مورد تست و قطر قطرات برای

موردنظر این محاسبات انجام شد که در جدول ۵ خلاصه شده است.

$$\frac{\dot{m}_{w-p}}{\dot{m}_p} = \sqrt{\frac{\rho_w}{\rho_p}} \quad (12)$$

۱-۷. تست انژکتور جریانی سوخت

پس از ساخت صفحه انژکتور، مدار تستی به صورت شکل ۱۴ ایجاد گردید. این مدار شامل مخزن آب، شیر یکطرفه، پمپ، شیر قطع و وصل جریان، دبی سنج و فشارسنج می‌باشد. شکل ۱۵ تصویری از تست اجرا شده برای صفحه انژکتور را نشان می‌دهد. در این آزمون علاوه بر آنکه برخورد جت خروجی انژکتورها در یک نقطه مورد بررسی قرار گرفت، دبی و فشار نیز اندازه‌گیری شد. در جدول ۶ مقادیر اندازه‌گیری آورده شده است.



شکل ۱۲. نمایی از انژکتور گردابه‌ای اکسید [۱۸]



(ب)



(الف)



(د)



(ج)

شکل ۱۳. انژکتورهای مورد استفاده؛ (الف) انژکتور خارجی گریز از مرکز، (ب) انژکتور داخلی گریز از مرکز، (ج) صفحه انژکتور سوخت، (د) محفظه با انژکتور مماسی برای جریان گردابه‌ای

خود به مرکز مخروط پاشش حمل می‌کند. با افزایش فشار و در نتیجه افزایش سرعت قطرات، اولاً نیروی ایرودینامیکی وارد بر مایع که سبب تبدیل آن به قطرات می‌شود، شدیدتر شده و در نتیجه قطرات ریزتری حاصل می‌شوند. ثانیاً هوا، که با شدت بیشتری به داخل چتر پاشش کشیده می‌شوند، قطرات ریزتری را با خود به ناحیه میانی می‌آورد.

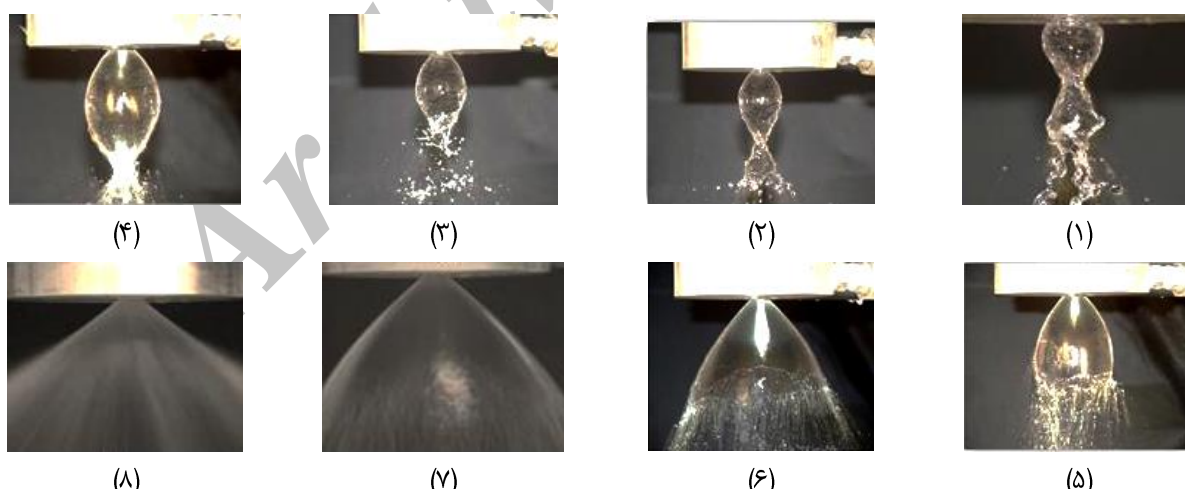
حالتهای ذکر شده در جدول ۸ ذکر شده است. در شکل ۱۹ توزیع قطر میانگین قطرات برای مؤلفه داخلی و در شکل ۲۰ برای مؤلفه خارجی، روی قطر صفحه مشبندی شده نشان داده شده است. در این انژکتورها، قطرات با بیشترین قطر در اطراف یال چتر پاشش متتمرکز هستند. دلیل این پدیده همان حرکت هوای اطراف از خارج به داخل چتر پاشش است که در نتیجه قطرات ریزتر را با

جدول ۵. مقدار دبی آب معادل سوخت و اکسید کننده

| افت فشار کاری (مگاپاسکال) | دبی آب معادل (کیلوگرم بر ثانیه) | چگالی مولفه (کیلوگرم بر متر مکعب) | دبی واقعی (کیلوگرم بر ثانیه) | نوع انژکتور |
|------------------------------|------------------------------------|--------------------------------------|---------------------------------|-------------------------------------|
| ۰/۳ | ۰/۲۴۱۵ | ۸۱۰ | ۰/۲۱۷۵ | انژکتور جریانی سوخت اصلی |
| ۱/۲ | ۰/۰۲۴ | ۸۳۵ | ۰/۰۲ | انژکتور مماسی سوخت راهانداز |
| ۰/۳ | ۰/۱۰۶ | ۱۱۴۰ | ۰/۱۱۳ | انژکتور مماسی اکسید محوری |
| ۰/۳ | ۰/۱۵۸ | ۱۱۴۰ | ۰/۱۶۹ | انژکتور جریانی مماسی اکسید گردابهای |

جدول ۶. مقدار دبی انژکتور جریانی سوخت در فشارهای مختلف

| دبی (کیلوگرم بر ثانیه) | فشار پشت صفحه انژکتور (مگاپاسکال) | فشار ورودی (مگاپاسکال) | شماره تست |
|---------------------------|--------------------------------------|---------------------------|--------------|
| ۰/۱۹۳ | ۰/۱۸۸ | ۰/۲ | ۱ |
| ۰/۲۲۷ | ۰/۲۸۸ | ۰/۳ | ۲ |
| ۰/۲۶ | ۰/۳۸۹ | ۰/۴ | ۳ |
| ۰/۲۹۱ | ۰/۴۸۵ | ۰/۵ | ۴ |



شکل ۱۶. مراحل تشکیل زاویه پاشش در فشارهای مختلف



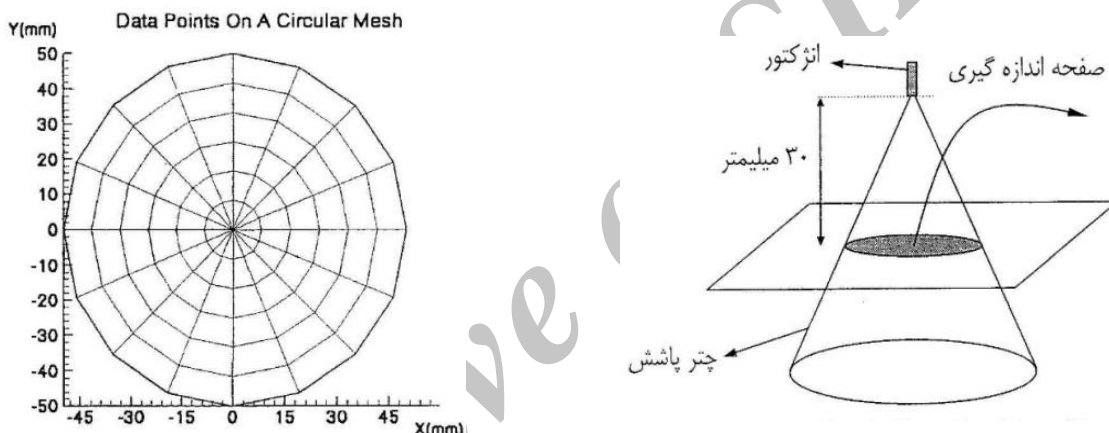
شکل ۱۷. زاویه پاشش انژکتور داخلی و خارجی

جدول ۷. مقدار دبی انژکتور گریزاز مرکز در فشارهای مختلف

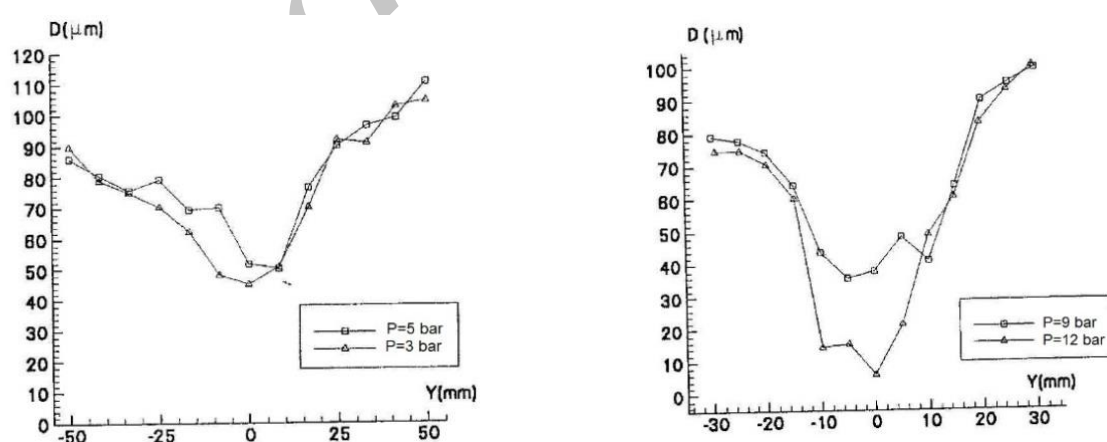
| انژکتور خارجی | | انژکتور خارجی | | شماره تست |
|-------------------------|-------------------------|-------------------------|-------------------------|-----------|
| دبی کیلوگرم بر ثانیه | فشار ورودی مگاپاسکال | دبی کیلوگرم بر ثانیه | فشار ورودی مگاپاسکال | |
| ۰/۰۲۱ | ۰/۹ | ۰/۸۸ | ۰/۲ | ۱ |
| ۰/۰۲۲ | ۰/۱۰ | ۰/۱۱۲ | ۰/۳ | ۲ |
| ۰/۰۲۳ | ۰/۱۱ | ۰/۱۳۰ | ۰/۴ | ۳ |
| ۰/۰۲۴ | ۰/۱۲ | ۰/۱۴۷ | ۰/۵ | ۴ |

جدول ۸. ماتریس تست در مقطع ۳۰ میلیمتری از چتر پاشش

| ابعاد صفحه مشیندی شده | فشار تست | مولفه‌های مورد تست |
|-----------------------------|--------------------------|--------------------|
| دایره‌ای به شعاع ۳۰ میلیمتر | ۹ بار | مؤلفه داخلی |
| دایره‌ای به شعاع ۵۰ میلیمتر | ۵ بار | مؤلفه خارجی |
| دایره‌ای به شعاع ۵۰ میلیمتر | ۳ بار داخلی ۱۲ بار خارجی | دو پایه |



شکل ۱۸. صفحه اندازه گیری و نقاط دادهبرداری

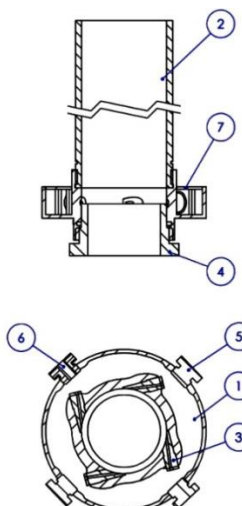


شکل ۲۰. توزیع قطر قطرات روی یک قطر از چتر برای مؤلفه خارجی

برخورد کرده و عملاً چتر پاشش واحدی به وجود می‌آید. همان‌طور که مشاهده می‌شود قطر قطرات در حالتی که دو مؤلفه با هم پاشیده می‌شوند، بیشتر از حالت تک‌تک مؤلفه‌هاست.

توزیع قطر میانگین مربوط به انژکتور دو پایه در فشار نامی مؤلفه‌ها در شکل ۲۱ نمایش داده شده است. در این فشارها چتر پاشش هر دو مؤلفه با هم در فاصله کمی از اریفیس خروجی

ساختی و مقدار ضریب دبی انتخابی می‌باشد. خطای به وجود آمده در انژکتور گریز از مرکز که در حدود ۵/۶ درصد در دبی و ۳ درصد در زاویه‌ی پاشش است، می‌تواند ناشی از ترانس‌های ساختی و فرضیات و ضرایب انتخابی در طراحی انژکتور باشد. از تست انژکتور جریانی مماسی جریان گردابهای نتیجه گرفته شد که هرچه تعداد انژکتورها بیشتر باشد، یکنواختی جریان بیشتر است (شکل ۲۴). همچنین زاویدار کردن انژکتور تا ۵ درجه بدون استفاده از پله تکیه‌گاهی اثر چندانی روی دبی و بالا رفتن جریان در محفظه ندارد؛ بهمین دلیل در طراحی محفظه احتراق گردابهای اصلی از محفظه‌ای با قطر ۱۱۰ میلی‌متر و تعداد ۶ انژکتور با قطر ۱/۵ میلی‌متر به صورت مماسی استفاده شد.



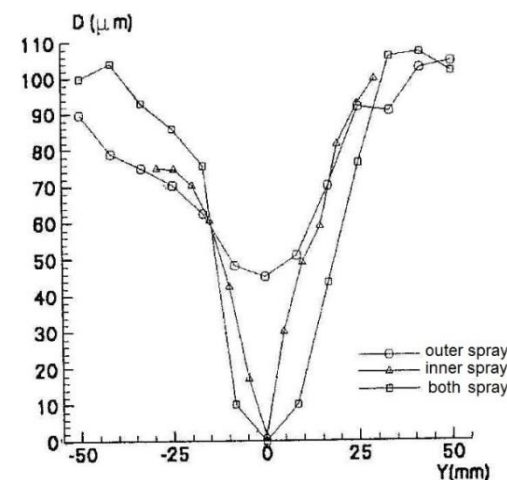
شکل ۲۲. نمایی از طرح محفظه بهمنظور تست سرد، (۱و۷) کالکتور سیال، (۲) محفظه پلکسی گلس، (۳) انژکتور مماسی، (۴) پله تکیه‌گاهی، (۵) منفذ ورودی جهت تعویض انژکتورها، (۶) ورودی سیال



شکل ۲۳. تصاویری از مجموعه محفظه ساخته شده بهمراه قطعات آن

۷-۳. تست انژکتور جریانی مماسی گردابهای

برای بررسی جریان گردابهای و تأثیر پارامترهای مختلف بر عملکرد محفظه، استوانه‌ای از جنس پلکسی‌گلس با دو قطر متفاوت با مشخصات ذکرشده در جدول ۹ طراحی و ساخته شد. در ابتدا با دبی مشخص، چهار انژکتور با قطر ۱/۷ میلی‌متر برای ۱/۵ میلی‌متر برای محفظه ۷۰ میلی‌متر و ۴ و ۶ انژکتور با قطر ۱/۷ و ۱/۵ میلی‌متر برای محفظه ۱۱۰ میلی‌متری به عنوان انژکتورهای جریان گردابهای به کار گرفته شدند. طراحی به‌گونه‌ای صورت گرفت که انژکتورها بهراحتی قابل تعویض باشند و در تست‌های تعریف شده از انژکتورهای مختلف با افت و زوایای متفاوت استفاده گردید. در شکل ۲۲ نمایی از طرح و در شکل ۲۳ مجموعه اصلی و بعضی از المان‌های محفظه ساخته شده آورده شده است. تست‌ها با دو محفظه با قطر ۷۰ و ۱۱۰ میلی‌متر در افت‌ها، تعداد و زوایای مختلف انژکتور و ضخامت پله تکیه‌گاهی متفاوت انجام شد. برای نمونه، در جدول ۱۰ نتایج تست - که برای محفظه ۷۰ و ۱۱۰ میلی‌متری با زاویه صفر و ۵ درجه ورودی انژکتور و ضخامت پله تکیه‌گاهی ۱۵ میلی‌متر در فشارهای مختلف انجام گرفته - آورده شده است.



شکل ۲۱. توزیع قطر قطرات انژکتور دورپایه و تک‌تک مؤلفه‌های آن روی یک قطر از چتر پاشش

۷-۴. نتایج و تحلیل تست‌ها

در جدول ۱۱ مقادیر محاسباتی و مقادیر حاصل از تست و درصد خطای به دست‌آمده برای هر انژکتور به تفکیک آورده شده است. در انژکتور جریانی سوت، با توجه به تست، جت جریان انژکتورها در یک نقطه با هم تلاقی پیدا می‌کنند و درصد خطای حدود ۴ درصد در مقدار دبی در فشار مورد نظر خطای ناشی از ترانس‌های

گردا بهای این تأثیر دوچندان است و با چیدمان و انتخاب بهینه افت فشار و زاویه ورودی انژکتورها می‌توان به پارامترهای احتراقی مطابق با طراحی دست یافت. آزمون‌های انجام شده روی سامانه پاشش محفظه احتراق گردا بهای نشان داد که در انژکتور جریانی سوخت، جت انژکتورها در یک نقطه با هم تلاقی می‌کنند و در حدود ۴ درصد خطا در مقدار دبی در فشار مورد نظر وجود دارد. در انژکتور دو پایه گریز از مرکز؛ برای انژکتور داخلی تقریباً خطا در دبی وجود ندارد و در حدود ۳ درصد خطا در زاویه پاشش دیده می‌شود. برای انژکتور بیرونی نیز در حدود ۵/۶ درصد خطا در دبی و ۳ درصد خطا در زاویه پاشش ایجاد شده است. از تست انژکتور جریانی مماسی جریان گردا بهای نتیجه گرفته شد که؛ هرچه تعداد انژکتورها بیشتر باشد، یکنواختی جریان بیشتر است و همچنین از ورود انژکتور تا ۵ درجه بدون استفاده از پله تکیه‌گاهی احتراق کردن انژکتور را می‌توان افزایش نشان داد که با افزایش ارتفاع مجرای انژکتور، نسبت طول به قطر نازل بزرگ‌تر از یک و نسبت طول به قطر سوراخ ورودی کمتر از ۱/۵ زاویه پاشش کاهش می‌یابد. همچنین با کاهش تعداد سوراخ‌های ورودی یکنواختی پاشش انژکتور از بین می‌رود. در مورد انژکتور جریانی، بازه‌های توصیه شده در ارتباط با انتخاب ضریب عبوردهی مناسب می‌باشد و در چیزی از انژکتورهای جریانی نیز بیان شد که استقرار انژکتورها باید طوری باشد که برخورد جریان‌ها در داخل گردابه داخلی صورت گیرد.

۷-۵. بازه‌های مناسب طراحی مبتنی بر نتایج تست‌ها

از تست انژکتور مماسی جریان گردا بهای نتیجه گرفته شد که هرچه تعداد انژکتورها بیشتر باشد، یکنواختی جریان بیشتر است و زاویه‌دار کردن انژکتور تا ۵ درجه بدون استفاده از پله تکیه‌گاهی اثر چندانی بر دبی و بالا رفتن جریان در محفظه ندارد. در مورد انژکتور گریز از مرکز نتایج نشان داد که با افزایش ارتفاع مجرای انژکتور، نسبت طول به قطر نازل بزرگ‌تر از یک و نسبت طول به قطر سوراخ ورودی کمتر از ۱/۵ زاویه پاشش کاهش می‌یابد. همچنین با کاهش تعداد سوراخ‌های ورودی یکنواختی پاشش انژکتور از بین می‌رود. در مورد انژکتور جریانی، بازه‌های توصیه شده در ارتباط با انتخاب ضریب عبوردهی مناسب می‌باشد و در چیزی از انژکتورهای جریانی نیز بیان شد که استقرار انژکتورها باید طوری باشد که برخورد جریان‌ها در داخل گردابه داخلی صورت گیرد.

۸. نتیجه‌گیری

انژکتورها و صفحه‌انژکتور از المان‌های اصلی و تأثیرگذار بر فرایند احتراق در موتورهای سوخت مایع هستند. در محفظه احتراق



شکل ۲۴. تأثیر تعداد انژکتورهای مماسی بر یکنواختی جریان گردا بهای در محفظه

جدول ۹. مشخصات محفظه‌های ساخته شده

| طول محفظه (میلی‌متر) | ضخامت پله‌ی تکیه‌گاهی (میلی‌متر) | زاویه انژکتور (درجه) | قطر انژکتور (میلی‌متر) | تعداد انژکتور - | قطر محفظه (میلی‌متر) |
|----------------------|----------------------------------|----------------------|------------------------|-----------------|----------------------|
| ۴۰۰ | ۱۵، ۱۰، ۵، ۲، صفر | صفر | ۱/۷ | ۴ | ۷۰ |
| ۴۰۰ | ۱۵، ۱۰، ۵، ۲، صفر | ۵، صفر | ۱/۷ | ۴ | ۱۱۰ |
| ۴۰۰ | ۱۵، ۱۰، ۵، ۲، صفر | ۵، صفر | ۱/۵ | ۶ | ۱۱۰ |

جدول ۱۰. پارامترهای اندازه‌گیری شده برای محفظه با قطر ۷۰ و ۱۱۰ میلی‌متر

| ردیف | قطر محفظه (میلی‌متر) | فشار ورودی (بار) | قطر انژکتور (میلی‌متر) | زاویه انژکتور (درجه) | دبی (گرم بر ثانیه) |
|------|----------------------|------------------|------------------------|----------------------|--------------------|
| ۱ | ۷۰ | ۲ | ۱/۷ | صفر | ۹۹ |
| ۲ | ۷۰ | ۳/۱۱ | ۱/۷ | صفر | ۱۲۷ |
| ۳ | ۷۰ | ۴/۱۴ | ۱/۷ | صفر | ۱۴۹ |
| ۴ | ۷۰ | ۴/۹۷ | ۱/۷ | صفر | ۱۶۵ |
| ۵ | ۱۱۰ | ۲/۰۲ | ۱/۵ | صفر | ۱۱۸ |
| ۶ | ۱۱۰ | ۳/۰۳ | ۱/۵ | صفر | ۱۴۹ |
| ۷ | ۱۱۰ | ۴ | ۱/۵ | صفر | ۱۷۵ |
| ۸ | ۱۱۰ | ۵/۰۲ | ۱/۵ | صفر | ۱۹۴ |
| ۹ | ۱۱۰ | ۲/۰۷ | ۱/۵ | ۵ | ۱۱۹ |
| ۱۰ | ۱۱۰ | ۳/۰۵ | ۱/۵ | ۵ | ۱۵۱ |
| ۱۱ | ۱۱۰ | ۴/۰۱ | ۱/۵ | ۵ | ۱۷۸ |
| ۱۲ | ۱۱۰ | ۵/۰۳ | ۱/۵ | ۵ | ۱۹۷ |

جدول ۱۱. مقادیر محاسباتی و مقادیر حاصل از تست و درصد خطای به دست آمده برای هر انژکتور

| نوع انژکتور | فشار کاری (مگاپاسکال) | دبی محاسباتی (کیلوگرم بر ثانیه) | دبی حاصل از تست (کیلوگرم بر ثانیه) | زاویه پاشش (درجه) | درصد خطای دبی | درصد خطای زاویه پاشش |
|-----------------------------------|-----------------------|---------------------------------|------------------------------------|-------------------|---------------|----------------------|
| انژکتور جریانی سوت اصلی | .۰/۳ | .۰/۲۴۱۵ | .۰/۲۳۱۵ | ۱۵ | %۴ | - |
| انژکتور مماسی سوت را انداز | .۱/۲ | .۰/۰۲۴ | .۰/۰۲۴ | ۱۰۰ | صفر | ۳ |
| انژکتور مماسی اکسید محوری | .۰/۳ | .۰/۱۰۶ | .۰/۱۱۲ | ۹۰ | %۵/۶ | ۳ |
| انژکتور جریانی مماسی اکسید گردابی | .۰/۳ | .۰/۱۵۸ | .۰/۱۴۹ | صفر | %۵/۷ | - |

۹. مأخذ

- [1] Y.H Zahao, M.H Hou, J.S Chin, Drop Size Distribution from Swirl and Air-blast Atomizer, *Atomization and Spray Technology*, Vol. 17, pp. 3-15, 1986.
- [2] D.H. Taylor, B.E. Walshm, Combustion Processes in a Medium Diesel Enggin, *The Inst. Eng*, Vol. 202, pp. 67-76, 1986.
- [3] D. Sivakumar, B.N.R., Role of geometric parameteres on the drop size characterisitics of liquid-liquid coaxial swirl atomizers, *Atomization and Spray Technology*, Vol. 14, pp. 547-563, 1998.
- [4]. A. Karegar, *Layout optimization model of injectors in injector page by using cold test results*, Master's thesis, Department of Mechanical Engineering, Tarbiat Modares University, Tehran, 2006. (in Persian) (فارسی)
- [5]. A.J. Yule, , R.A. Shen, , J.R. Jeong, G.G Nasr, D.D. James, The Performance Characteristics of Solid – Cone – Spray Pressure–Swirl Atomizers و *Atomization and sprays*, Vol. 10, pp. 627-646, 1990.
- [6] R. D. Rietz, F. V Bracco, *Mechanisms of breakup of Round liquid Jes*, The Encyclopedia of Fluid Mechanics, Cheremisnof N., Gulf Publishing, Houston, Texas , Vol.3, chap. 10 , pp. 233-249, 1986.
- [7] H.I, Makkarti, S.C. Molvi, *Science and Engineering of Droplets: Fundamentals and Application*, William Andrew Publishing, chap. 5, pp.121-137, 2000.

- [8] R. W. Tate, Spray patterning, *Ind. Eng. Chem.*, Vol. 52, No.10, pp. 49-52, 1960.
- [9] V.M Kodryatcev, V.A. Kuznetsov, *Fundamental of theory and calculation of liquid propulsion rockets*, Moscow chap. 6, pp. 78-95, 1993.
- [10]. F. Ommi, *Engine and spacecraft propulsion*, Tehran, Besat Publishers, chap 5, pp. 47-80, 2010. (in Persian) (فارسی)
- [11] E. Valizadeh, M.J. Montazeri, M.R. Eshkevari and M. Dadkhah, Scenario of mass & energy parametrs optimization of specific liquid propellant engine and hot test, *The Eighth Annual Conference of the Association of Aerospace*, Malek Ashtar University, 2009. (in Persian) (فارسی)
- [12] A. Saghari, *Study of vortex combustion chamber performance in Missile and space propulsion systems*, Master's thesis, Malek Ashtar University, 2010. (in Persian) (فارسی)
- [13] M. J. verini, M.J. Malecki, J.A. Sauer, W. H. Knuth, Vortex Combustion Chamber Development for Future Liquid Rocket Engine Applications, *AIAA Paper 2149*, 2002.
- [14] L. Gongnan, Design and simulation of gas oxygen/ methane vortex cooling thrust chamber,
- The 64th International Astronautical Congress, Beijing, China, 2013.*
- [15] J. Martin Chiaverini, J. Majdalani, Vortex Thrust Chamber Testing and Analysis for O₂-H₂ Propulsion Applications, *The 39th AIAA/ASME/SAE/ASEE Joint Propulsion Conference and Exhibit, Huntsville, Alabama, July 2003.*
- [16] K. Ramamurthi, Journalof, Experimental study of liquid sheets formed in coaxial swirl injectors, *Propulsion and Power*, Vol. 14, pp. 1103-1109, 1995.
- [17]. S.A. Esfehani, *Proposing a Model to design of a bipropellant atomizer and its experimental testing*, Master's thesis, Malek Ashtar University, 2012. (in Persian) (فارسی)
- [18]. E. Valizadeh, S. M. Mousavi Naeenian, M. M. Heydari, H. Saadati, Numerical analysis of the flow in vortex combustion chamber simulator cylinder of liquid propellant engines and its experimental test, *Modares Mechanical Engineering Journal*, Vol. 15, No. 9, pp. 313-321, 2014. (in Persian) (فارسی)

پی‌نوشت

-
1. Orbitech (Orbital technology Company)